

GMPLS 制御ラムダ IX 間における動的帯域制御方式の提案と検討

宮澤 雅典[†] 釣谷 剛宏[†] 大谷 朋広[†] 田中 英明[†]

† 株式会社 KDDI 研究所 〒356-8502 埼玉県ふじみ野市大原 2-1-15

E-mail: †{ma-miyazawa, tsuri, otani, hide}@kddilabs.jp

あらまし 今後もトラヒックが増大すると、Internet eXchange (IX) でトラヒックが集中することに加えて、遅延が増大することが懸念されており、トラヒックの分散化や低遅延化を図ることが必要となってきている。本稿ではこのような要求に応えるために光クロスコネクト装置を分散的に配したラムダ IX アーキテクチャの波長ベースピアリング方式の提案を行うとともに、IX 間の波長リソースを有効利用するレイヤ 2 機能と GMPLS 機能の連携による動的帯域制御方式の提案を行う。さらに、後者においてレイヤ 2 スイッチが有するリンクアグリゲーション機能と GMPLS による高速プロビジョニング機能とを連携させ、IX 間のトラヒックに応じて IX 間の波長パス数を増減させて、レイヤ 2 のリンク帯域を動的に可変できることを示す。

キーワード Internet eXchange, GMPLS, PXC, 帯域制御装置

Proposal and demonstration of bandwidth manager system for GMPLS-controlled lambda-IX

Masanori MIYAZAWA[†] Takehiro TSURITANI[†] Tomohiro OTANI[†] Hideaki TANAKA[†]

† KDDI R&D Laboratories Inc. 2-1-15 Ohara, Fujimino-shi, Saitama, 356-8502 Japan

E-mail: †{ma-miyazawa, tsuri, hide, otani}@kddilabs.jp

Abstract Recently, the IX exchanging the traffic has been increasing the traffic congestion and the traffic delay, due to the emergence of new applications and services. Therefore it's hoped that next generation IX architecture will be supported the traffic distribution, low latency and the effective use of available network resources. In this paper, we propose a distributed lambda-IX architecture using distributed photonic cross connects which can provide the high reliable and high quality lambda-based interconnections between AS border routers, and propose and develop the dynamic bandwidth modification depending on traffic flow to achieve an effective use of available network resources. Bandwidth manager can coordinate between the lambda path provisioning operation, traffic monitoring and link bundling possessed by the GMPLS-controlled L2SW. We demonstrate that bandwidth manager controls the number of lambda-LSPs which are established between L2SWs, and the number of bundled Ethernet connection over the lambda-LSPs which are realized by the LAG technique in distributed lambda-IX testbed.

Keyword Internet eXchange, GMPLS, PXC, Bandwidth Manager

1. まえがき

インターネットサービスを提供している ISP (Internet Service Provider) は、相互に接続し合うことによりユーザに対して様々なサービスを提供している。ISP 間の相互接続方法には ISP 同士が個々に接続を行うプライベートピアリングと、ISP 同士が同一地点で接続する、インターネットエクスチェンジ (Internet eXchange) によるピアリングがある。IX における接続形態にはレイヤ 2 (L2) ベースとレイヤ 3 (L3) ベースのものがあるが、ISP を主体とした経路制御やり

ンクアグリゲーションによる帯域追加の自由度、経済性の観点から、L2 ベースのアーキテクチャが主流となっている[1]。

スター型が基本である L2/L3 ベースの IX のアーキテクチャでは、IX にトラヒックが集中するしかないので、今後トラヒックがますます増加していくと[2-3]、遅延のより増加だけでなく、社会のインフラとして重要性が増してきた IX に障害が発生した場合の社会へのインパクトが大きくなる。また、広がりの著しい P2P アプリケーションにより、限られた ISP 間のトラヒックだけが増加し、その他の ISP 間接続品質や信頼性ま

でも低下することが懸念され始めている。これらの問題を解決するため、IX 点を分散的に配する分散 MPLS-IX[4]が提案され、運用される段階までなってきた。また、GMPLS(Generalized Multi-Protocol Label Switching)技術[5]を使った波長（ラムダ）ネットワークが様々な機関等で盛んに研究開発されており、将来的には ISP 間で従来のパケットレベルの接続に加えて、波長レベルの接続が出現すると予想される。そのため波長レベルの接続を実現するラムダ IX を我々は提案し、実証を行ってきた[6]。提案したラムダ IX は、光信号を電気に変換することなく光信号を波長レベルでスイッチングする光クロスコネクト(PXC : Photonic Cross Connect)技術と光の経路を制御する GMPLS を用いることにより、ISP 側からの要求により ISP 間に波長パスを動的に生成して波長単位のピアリングを提供する。ラムダ IX は扱う単位が波長であり、現在のパケット単位のグラニュアリティに比べて差が大きいため、既存の L2 ベースの IX 等と親和性を考慮することが必要となる。

IX 間に流れる実際のトラヒックは、様々なアプリケーションの出現により一日の中でも大きく変動しており、トラヒック量の最大時にあわせて設備を増強することは IX 事業者にとっては難しい。IX のトラヒックに応じて帯域増加にあわせて高価なインターフェースの増設を行いながら、帯域数を確保しているのが現状である。それによりサービス帯域の不足、高価なインターフェースの追加や運用者の負担の増大といったことが問題となっている。そのため、IX に流れるトラヒックをリアルタイムに監視し、トラヒックに応じて ISP 間のピアリング帯域を動的に制御する技術の実現が期待される。

本稿では、MPLS-IX の分散アーキテクチャをラムダベースに拡張し、まず、ISP 間に波長パスベースのピアリングを提供する分散ラムダ IX アーキテクチャについて検討を行う。本 IX は、GMPLS 制御の PXC を分散的に配置し、光領域で経路を制御することにより、MPLS-IX と比較して ISP 間に流れる大容量トラヒックの遅延や局所的なトラヒックの集中を回避可能なアーキテクチャである。さらに、本ラムダ IX をレイヤ 2 の帯域制御技術である LAG(Link Aggregation)と連携させることにより、トラヒックの変動に応じて柔軟な帯域制御を実現させる技術の提案を行う。本技術は分散ラムダ IX に流入するトラヒックをモニタし、その負荷変動に応じて IX のボーダーノード間の波長パス数を動的に増減させ、且つ波長パス上の Ethernet リンク

帯域を LAG によって動的に可変させる。今まで GMPLS 制御技術を用いた帯域制御技術はいくつか提案[7,8]されているが、新たに L2 と GMPLS との連携について検討を行った。また、L2 との連携は、既存の L2 ベース IX との連携にも適用することが可能であるため広く展開可能な連携手段である。そこで、今回 GMPLS コントロールプレーンと L2 スイッチと連携制御可能な帯域可変制御装置を開発し、環境下で実証試験を行ったので報告を行う。

2. 分散ラムダ IX の動的帯域可変機能の検討

2.1. 基本アーキテクチャ

ISP 事業者に対し帯域制限のない相互接続ポイントを提供するためのアーキテクチャとして、ビットレート、フォーマットに関してトランスペアレントな GMPLS 制御 PXC を用いた IX のアーキテクチャを提案している。図 1 に分散ラムダ IX アーキテクチャの概念図を示す。本稿で取り扱う分散ラムダ IX とは、GMPLS 制御の PXC を分散的に配備した IX アーキテクチャを示している。ISP が所有している ASBR (AS ボーダルータ) を直接 PXC に接続し、ISP 間の ASBR でピアリングを行う。ISP の ASBR 間でピアリングを行う際、GMPLS 機能を用い ASBR 間もしくは PXC 間に Lambda-LSP(Label Switched Path)を生成し、この LSP を用いて ASBR 間のピアリングを実現するアーキテクチャである。この IX では、IX 内の経路を GMPLS 機能のトラヒックエンジニアリング技術 (Traffic Engineering: TE) による最適な経路設計が可能であり、また、IX の運用ポリシーに従って経路を選択することが可能になるため、トラヒックの分散や遅延を考慮した経路選択が可能となる。この IX アーキテクチャにより、現状の IX の抱えるトラヒックの集中や遅延の問題を緩和することが可能となる。また、本 IX は GMPLS 制御によって光領域での高速な障害復旧が可能であるため、安定で且つ高い耐障害性が期待できる。

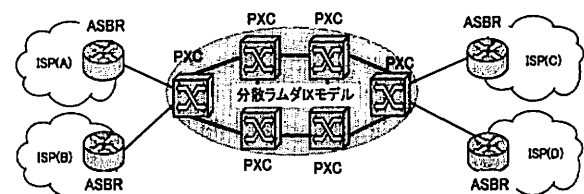


図 1 分散ラムダ IX アーキテクチャ

2.2. 動的帯域制御可能な分散ラムダ IX アーキテクチャ

1 章述べたように、次世代 IX のアーキテクチャに

おけるネットワークリソース有効活用のため、帯域制御機能が課題であることから、本稿では、自律的に経路制御可能なGMPLS網（分散ラムダIX網）と帯域制御可能なレイヤ2技術との連携を図ることにより、トラヒックの変動に応じて柔軟にL2スイッチ間の帯域を制御可能なアーキテクチャを提案する。図2にこのIXアーキテクチャの概念図を示す。構成として、上述したラムダIXアーキテクチャのASBRとPXCの間にL2スイッチを配備し、ラムダIXにレイヤ2をオーバーレイさせ、かつ、GMPLS機能とレイヤ2リンクアグリゲーション（LAG:Link Aggregation）を連携させる。ISP間のピアリングは、L2スイッチ間にLambda-LSPを生成し、このLSP上でL2スイッチ間のEthernet接続を確立させることでASBR間のピアリングを実現する。今回、L2スイッチをGMPLS対応化するため、L2スイッチにGMPLSコントローラを付加し、GMPLSコントロールプレーン上でGMPLSルーティング及びシグナリングの交換を行えるようになる。また、この形態では、L2スイッチ間のループの防止が重要であるが、今回、STP（Spanning Tree Protocol）は用いず、L2スイッチ-ASBR間にUnTag VLAN、L2スイッチ間にはVLAN Tagを設定することで、ループ形成を回避した。さらに、トラヒックに応じた帯域制御を実現するために、LAGとGMPLSを連携制御する帯域制御装置を開発した。この帯域制御装置は、L2スイッチ間に流れるトラヒック量を収集計測するトラヒックモニタリング機能、モニタしたトラヒックの増減または減少に応じてL2スイッチ間にLambda-LSPの設定/削除をGMPLSコントローラへ要求する波長パスプロビジョニング機能、L2スイッチへリンクアグリゲーション設定を要求するリンクバンドリング機能に分けられる。これにより、あるISP間のトラヒックの増減に応じて、L2スイッチ間に新たにLSPを生成/削除し、Ethernetリンクを確立、そして、この新たに生成されたEthernetリンクの本数を論理インターフェースであるLAGにより制御する一連のプロセスの自動化することで帯域可変を動的に実現している。さらに、本IXアーキテクチャは、LAGとGMPLS制御のPXCの障害復旧動作を連携させ信頼性のある障害復旧が提供可能である[9]。

3. 帯域制御技術

3.1. 帯域制御装置

今回開発した帯域制御装置は、L2スイッチ間に流れるトラヒック量のモニタリングを行いながら、予めユーザが設定したリンク使用率の閾値以上または以下のトラヒックが検知されると、L2スイッチ間のLSPの設定または削除を行い、且つL2スイッチに設定されているLAGの設定追加または削除設定を自動で行う

ことが可能であり、トラヒックに応じた動的帯域制御が可能な装置である。図3に帯域制御装置のシステム構成図を示す。帯域制御装置は5モジュールにより構成されている。MIB情報収集モジュールはトラヒック算出に必要な各種情報（インターフェース、VLAN、LAG）をSNMP（Simple Network Management Protocol）を用いてL2スイッチから収集する。トラヒックモニタモジュールはMIB情報収集モジュールで収集された情報を元にL2スイッチ間に流れるトラヒック量及びリンク使用率を算出し、予め設定された閾値（上限の閾値、下限の閾値）と比較し帯域の増減の判断を行う。設定モジュールはトラヒックモニタモジュールから帯域の増減の要求がきた場合に、GMPLSコントローラ及びL2スイッチへLambda-LSP及びLAGの設定をGMPLSコントローラとL2スイッチへ要求することにより動的帯域制御を実現している。また、共通処理モジュールはクライアントへサービスを提供するためのインターフェースやエラー時の処理を提供し、ファイル管理モジュールは、帯域制御を行うために必要な各種設定ファイルを管理、制御している。

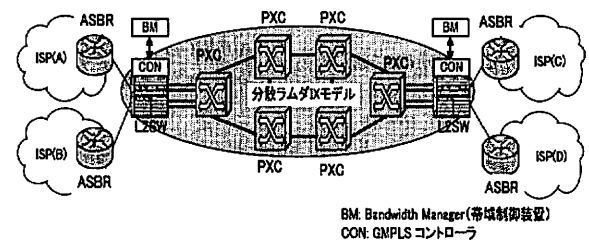


図2 帯域制御可能な分散ラムダIX

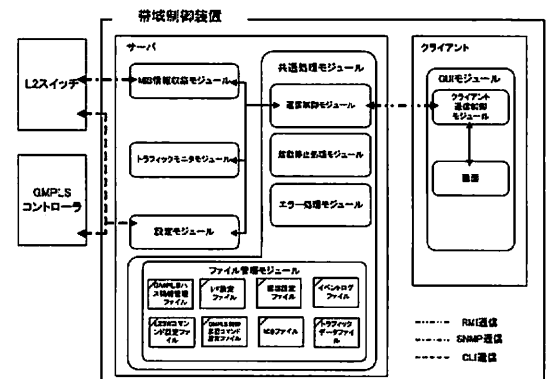


図3 帯域制御装置システム構成図

3.2. 動的帯域制御

図4に帯域制御装置の動作概念図を示す。動作の前

提として、少なくとも L2 スイッチ間には 1 本の LSP が存在し、L2 スイッチ間にはトラヒックが疎通可能状態であるものとし、また、LSP により接続された L2 スイッチのポートは必ず 1 つの LAG に属しているものとする。以下に帯域制御装置の処理についてトラヒックが増加した場合とトラヒックが減少した場合に分けて説明する。

3.2.1. トラヒック増加時の動作

トラヒック増加時の帯域制御装置の処理動作について説明する。ISP1 側の帯域制御装置は、L2 スイッチ間を通過するトラヒック量をイニシエータ側の L2 スイッチ 1 から SNMP を用いて定期的に収集する。収集するポートは、LSP が設定されたポートであり、In 及び Out 両方のトラヒック量を取得する。取得したトラヒック量のデータは帯域制御装置 1 のトラヒックモニタモジュールへ引き渡され、論理インタフェース (LAG) 単位の総トラヒック量と LAG インタフェースの使用率(リンク使用率)を算出する。リンク使用率の算出は以下の式から算出される。

$$\text{InputBandwidthUtilization}(\%) = \frac{\Delta \text{ifHCInOctets} \times 8}{\text{ifSpeed} \times \text{IntervalTime}} \times 100$$

$$\text{OutputBandwidthUtilization}(\%) = \frac{\Delta \text{ifHCOutOctets} \times 8}{\text{ifSpeed} \times \text{IntervalTime}} \times 100$$

$\Delta \text{ifHCOctets}$ はポーリング間隔内に LAG インタフェースに流れた総トラヒック量、ifSpeed とは LAG として登録されているインタフェースの総帯域、IntervalTime とは SNMP ポーリング間隔の実時間を示す。その後、トラヒックモニタモジュールは算出されたリンク使用率を元に、予めユーザにより設定された閾値(上限閾値)と比較を行う。閾値を超えた場合に限り、トラヒックモニタモジュールは設定モジュールへ帯域の増加要求を行う。しかしながら、IX に流れるトラヒックは特に突発的なトラヒックが発生するために、その都度、帯域可変を行うことは各ノードやシステムに負荷をかけてしまう。この問題を解決するために、トラヒックモニタモジュールにカウンタ設定とカウンタリセット機能を設け、ユーザが設定したカウント分上限の閾値を超えた場合に限り、帯域追加要求を行なうように設計されている。次に、トラヒックモニタモジュールの要求により設定フェーズへ移行する。設定モジュールでは帯域増加要求により GMPLS コントローラ 1 へ Lambda-LSP の生成を依頼する。これを受信した GMPLS コントローラ 1 は帯域増加を行なう対向の GMPLS コントローラ 2 に向けて Path メッセージを送信する。Path メッセージを受けた GMPLS コントローラ 2 は送信元の GMPLS コントローラ 1 へ Resv メッセ

ージを返送、この一連の RSVP シグナリングが正常に終了すると L2 スイッチ間に新たに Lambda-LSP が生成される。次に、新たに生成された LSP 上の Ethernet リンクの帯域を増加するため、L2 スイッチへ LAG 設定要求を行う。LAG の設定は、両 L2 スイッチのポートへの設定が必要であるため、LSP が設定されたポートを特定する必要がある。そのため、L2 スイッチのポートと TE リンクの論理的なインタフェース情報をリストとしてファイル管理モジュール内の I/F 設定ファイルへ予め登録しておく。新たな LSP が設定された時、両帯域可変制御装置は LSP 上で使用された TE リンクのインタフェース情報を両 GMPLS コントローラから取得し、I/F 設定ファイルの情報と照合を行うことによって、LAG に設定する L2 スイッチのポートを割り出す。各帯域制御装置は各 L2 スイッチに対して、割り出されたポートの LAG 設定を行い、この設定が完了した時点で帯域は増加され、処理が終了となる。

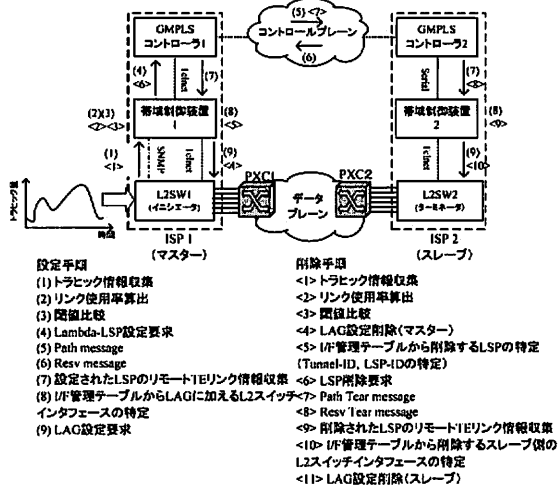


図 4 分散ラムダ IX 上の帯域制御手順

3.2.2. トラヒック減少時の動作

トラヒック減少時の帯域制御装置の動作について説明する。帯域削除プロセスは、LSP のイニシエータになる ISP1 側の帯域制御装置 1 とターミネータになる ISP2 の帯域制御装置 2 で LAG の削除動作が異なる。帯域制御装置 1 は、L2 スイッチ間を通過するトラヒック量をイニシエータ側の L2 スイッチ 1 から SNMP を用いて定期的に収集する。ある LAG インタフェースのトラヒック量が、予めユーザにより設定されたリンク使用率の下限閾値以下に下回ると、ISP1 の帯域制御装置 1 が L2 スイッチ 1 に対し、LAG インタフェースの任意の 1 ポートのシャットダウン及び LAG ポートからの設定削除を行う。L2 スイッチ 1 のポートを最初にシ

ヤットダウンすることにより、ロスなく帯域の削除を行うことが可能である。その後、帯域制御装置 1 は Lambda-LSP の削除要求を GMPLS コントローラ 1 へ送信し、要求を受信した GMPLS コントローラ 1 は PathTear メッセージを GMPLS コントローラ 2 へ送出、GMPLS コントローラ 2 が受信することで LSP は削除される。続いて、ISP2 側の LAG 設定の削除を行う。LAG 設定を削除する L2 スイッチのポートは、LSP の削除により開放された TE リンクのインターフェース情報を GMPLS コントローラ 2 から帯域制御装置 2 が取得し、I/F 設定ファイルと対応付けることにより決定する。最後に、ISP2 側の帯域制御装置 2 が L2 スイッチ 2 へ LAG 削除要求を行い、L2 スイッチ 2 が当該ポートの LAG 設定を削除することで帯域は正常に減少され、処理が終了となる。

4. 分散ラムダ IX 上の動的帯域制御実験

4.1. 実験構成

本稿で提案している動的帯域制御技術を実証するため、分散ラムダ IX の擬似環境を構築し検証実験を行った。図 5 に実験構成図を示す。検証環境では分散ラムダ IX として PXC 3 台及び L2 スイッチ、GMPLS コントローラ、帯域制御装置をそれぞれ 2 台ずつ分散配備した。また、4 つの ISP を想定するためにトラヒックジェネレータを用いて擬似トラヒックを発生させた。PXC と GMPLS コントローラは、シグナリングプロトコルとして Resource reservation protocol(RSVP)-TE[10]及びルーティングプロトコルとして Open short path first(OSPF)-TE[11]がサポートされ、これは、100Base-T で接続されたコントロールプレーンを介して各ノード間で交換される。各ノード間の TE リンクには L2 スイッチ 1-PXC1 及び L2 スイッチ 2-PXC2 間には 2 本の TE リンクを、PXC 間には 1 本ずつ TE リンクを設定した。また、L2 スイッチのインターフェースとして GbE を使用した。ISP1-3、ISP2-4 間のトラヒックを分離するため ISP 側の L2 スイッチに VLAN100 と VLAN200 をそれぞれ設定した。また、L2 スイッチ間に LAG 及び Tag-VLAN を設定した。尚、予め L2 スイッチ 1-L2 スイッチ 2 間に Lambda-LSP (L2SW1-PXC1-PXC2-L2SW2) を生成し、ISP1-ISPs3 と ISP2-ISPs4 間の 2 つのトラヒックを疎通可能とした。帯域制御装置は L2 スイッチから 10 秒間隔のポーリングでトラヒック情報を収集し、帯域可変閾値は上限閾値を 90%，下限閾値を 50% に設定した。また、カウンタ設定は 1 とし、閾値を超えるか、または下回った直後に帯域可変を動作できるように設定を行った。

4.2. 検証結果

図 6 に ISP1 から ISP3 へ送出したトラヒック量と、

ISP2 から ISP4 へ送信したトラヒック量の総和の時間変化を表す。トラヒックジェネレータ 1(ISP1)からトラヒックジェネレータ 3 (ISP3) へ 700Mbps のトラヒックを定常的に流し、また、トラヒックジェネレータ 2(ISP2)からトラヒックジェネレータ 4(ISP4)へ 700Mbps のトラヒックを一定期間だけ流したため、L2 スイッチ 1 に流入するトラヒックの合計値は断続的に最大 1400Mbps に達する。図 7 は帯域制御を行わない場合のトラヒックジェネレータ 3,4 が受信したトラヒック量の総和の時間変化を表す。ISP1-ISPs3 間のトラヒックのみの場合、送信トラヒック量が 700Mbps であるため 100% のスループットが保持されているが、ISP2-ISPs4 間のトラヒックが L2 スイッチに加算されるとトラヒックの合計値が 1400Mbps となり、L2 スイッチ間のリンク帯域である 1000Mbps を超えるため、400Mbps のロスが発生した。

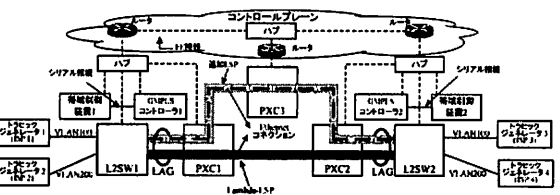


図 5 検証構成図

図 8 のグラフは、帯域制御を行った場合のトラヒックジェネレータ 3,4 で受信したトラヒック量の合計値を示す。120 秒付近でトラヒックジェネレータ 2 からのトラヒックが追加されると、総トラヒック量が帯域制御装置の上限閾値 90% (900Mbps) を越えたことをトリガに帯域制御装置が帯域増加処理を開始し、約 30 秒後に帯域を増加させた。L2 スイッチ 1-2 間のリンク帯域が 2Gbps に増加したこと、送信された総トラヒック 1400Mbps をロスなく受信できることが確認された。30 秒間のロスは、本帯域制御装置が必要とするセットアップ時間であり、この時間配分は、ポーリング間隔を 10 秒に設定したことによる。トラヒック増加検知時間 (最大で 20 秒)、並びに、LSP 及び LAG の設定時間 (10 秒程度) であった。また、250 秒付近でトラヒックジェネレータ 2 からのトラヒックをゼロにすると、総トラヒック量が 700Mbps へ変化し、帯域制御装置は L2 スイッチ間のトラヒックが下限閾値の 50% (1000Mbps) 以下に達したことを検知するため、L2 スイッチ間の 2Gbps の帯域を半分の 1 Gbps へ減少させた。これにより、分散ラムダ IX アーキテクチャ環境下において、トラヒックの状況に応じた動的帯域可変が正常に行われたことが確認された。

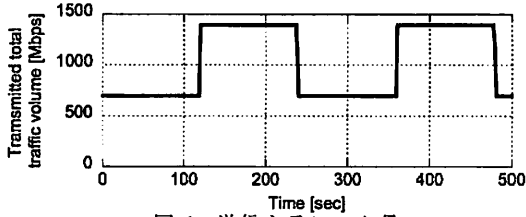


図 6 送信トラヒック量

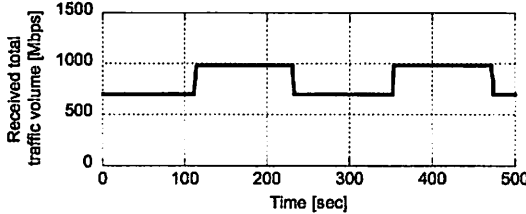


図 7 受信トラヒック量（帯域制御なし）

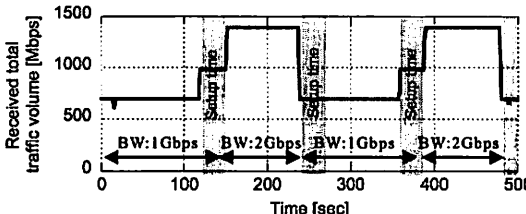


図 8 受信トラヒック量（帯域制御あり）

5.まとめ

本稿では、GMPLS 制御の PXC を分散的に配置したラムダ IXにおいて、L2 スイッチと連携して IX を通過するトラヒック量に応じて IX 内の帯域を動的に制御する方式の提案を行った。さらに、ラムダ IX 環境を構築し、開発を行った帯域制御装置の評価を行い、本装置が GMPLS コントロールプレーンと ISP のトラヒックをアグリゲートする L2 スイッチとの連携動作によって、トラヒック変動に応じて L2 スイッチ間の帯域を動的に制御可能であることを確認した。これにより、分散ラムダ IX アーキテクチャが、今後のインターネットの大容量化を支えるネットワーク技術として有効であることを示すことができた。

謝辞

本研究の一部は、総務省の「国際情報通信ハブ形成のための高度 IT 共同実験」により研究開発した結果を含んでおります

文 献

- [1] 中村修、加藤朗、長谷部克幸、森島直人、関谷勇司、重近範行、"NSPIXIP: 大規模 IX テストベッド", 電子情報通信学会論文誌 B Vol.J88-B No.10 pp.1900-1909.

- [2] JPIX, "IX backplane Maximum/Minimum Traffic Volume", <http://www.jpix.ad.jp/jp/techncl/traffic.html>
- [3] AMS-IX "AMS-IX Traffic Statistics" <http://www.ams-ix.net/technical/stats/>
- [4] I. Nakagawa, H. Esaki and K. Nagami, "A Design of a Next Generation IX using MPLS Technology", Applications and the Internet 2002 (SAITA 2002), Proceedings, Pages 238-245.
- [5] E. Mannie, "Generalized Multi-Protocol Label Switching (GMPLS) Architecture" RFC 3945.
- [6] T. Tsuritani, S. Okamoto, T. Otani, H. Tanaka "Proposal and demonstration of lambda-based internet exchange (IX) point using GMPLS protocols and photonic cross-connect (PXC)", Proc.SPIE, Vol.5596 (2004), Pages 119-125.
- [7] S.Spadaro, A.D'Alessandro, A.Manzalin, J.Catlunya, "A Procedure for the Automatic Set-up and Tear-down of Switched Connections Tracking Traffic Fluctuation in IP/MPLS over ASON/GMPLS Networks", ECOC2004 Proceedings, Vol.2 We4 pp.146.
- [8] Ippei Shake, Mitsunori Fukutoku, Osamu Kurahashi, Yukiyasu Tarui, Yukio Tsukishima, Wataru Imajuku "Experiments on optical link capacity adjustment for photonic IX", ECOC2005 Proceedings Vol2 Tu3.4.3 Pages 217-218
- [9] 鈴谷剛宏、宮澤雅典、大谷朋広、田中英明 "L2 スイッチと PXC の連携による高速障害復旧方式の検討", 2006 信学全大
- [10] L. Berger, "Generalized Multi-Protocol Label Switching (GMPLS) Signaling Resource Reservation Protocol-Traffic Engineering (RSVP-TE) Extensions", RFC 3473
- [11] K.Kompella, Y. Rekhter, "OSPF Extensions in Support of Generalized Multi-Protocol Label Switching (GMPLS)", RFC 4203.